

УДК 552.11+552.3

## МЕЛ-ПАЛЕОГЕННЫЙ МАГМАТИЗМ СРЕДИННОГО ХРЕБТА КАМЧАТКИ: ПРОБЛЕМА ИСТОЧНИКОВ МАГМ

© 2008 г. Г. Б. Флеров<sup>1</sup>, В. А. Селиверстов<sup>2</sup>

<sup>1</sup>Институт вулканологии и сейсмологии ДВО РАН, Петропавловск-Камчатский, 683006

<sup>2</sup>Музей Землеведения Московского государственного университета им. М.В. Ломоносова, Москва, 119899

Поступила в редакцию 10.04.2007 г.

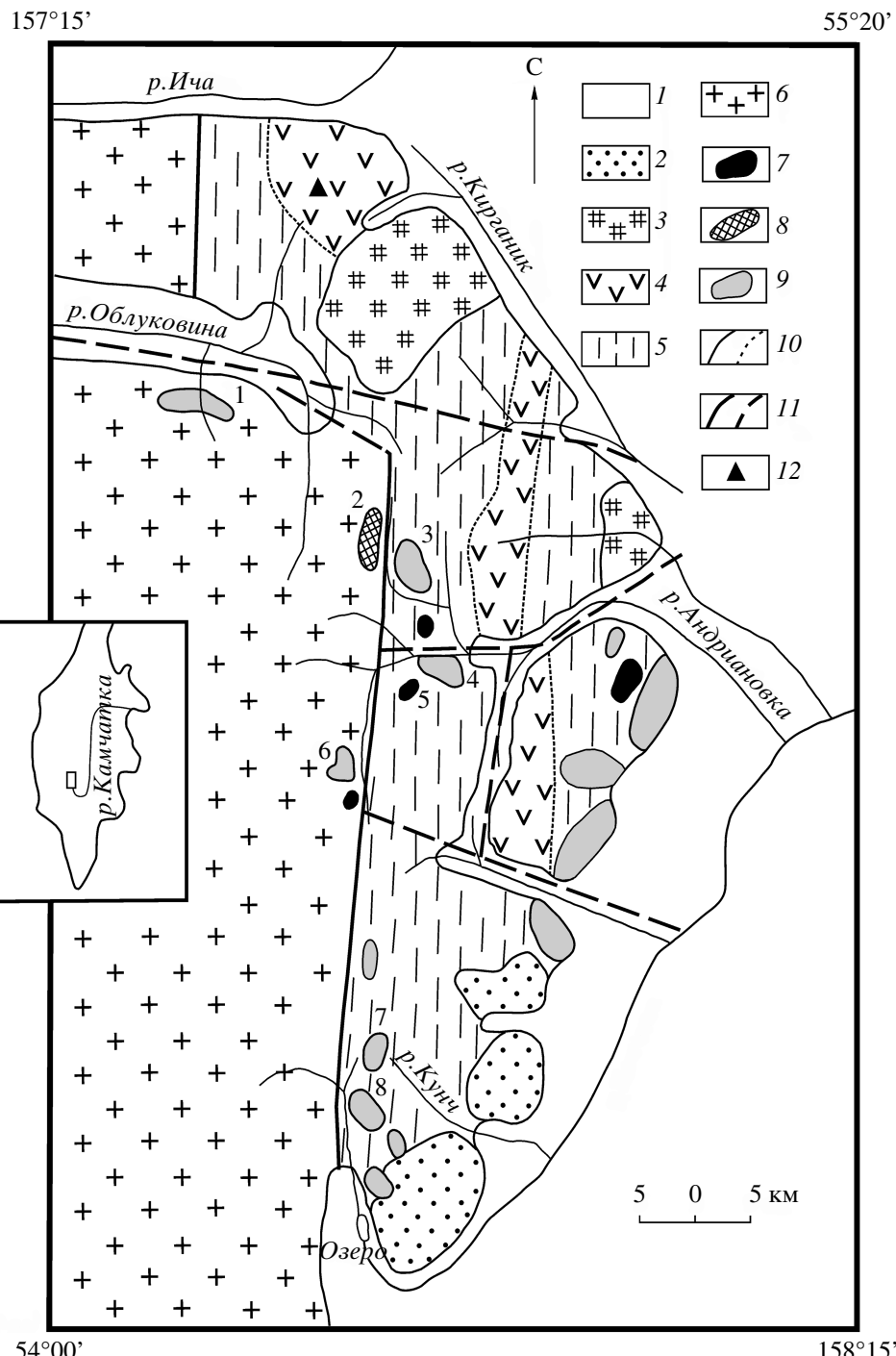
На основе опубликованных и новых данных предлагается петрологическая модель формирования предорогенной позднемеловой-палеогеновой вулкано-интрузивной формации. В основу модели положен принцип плюмовой геодинамики: гомодромное поступление магм дунит-клинопироксенит-габбровой ассоциации в верхние горизонты литосферы обязано плавлению неоднородного состава субстрата верхней мантии под воздействием восходящего глубинного флюида, содержащего фосфор-калиевую компоненту. Показана комагматичность разнофациальных проявлений: базальт-трахибазальт-латит и габбро-монцогаббро-сиенит, эволюционирующих в процессе кристаллизационной дифференциации базальтовой магмы под контролем трансмагматического флюида. Предлагается вариант петrogenезиса пород высококалиевовой базальтовой серии.

Настоящая статья представляет собой попытку разобраться в природе и последовательности процессов, которые привели к созданию сложно построенной вулкано-плутонической формации [24, 26, 27, 28]. Для решения поставленной задачи привлечены известные данные по геологии магматических тел формации, петрографии и петрохимии дискретных типов пород и минералогии проходной группы минералов-клинопироксенов. Выходы пород формации прослеживаются прерывистой полосой вдоль восточного склона Срединного хребта, обнажаясь от верховьев р. Кирганик на севере до долины р. Озерная Камчатка на юге (рис. 1). В полном объеме формация включает дунит-клинопироксенит-габбро-сиенитовый интрузивный комплекс, а также лавы, субвулканические тела, дайки и вулканогенно-осадочные и осадочные образования кирганикской свиты. Подобная интрузивная ассоциация развита также и на территории Корякского нагорья [11, 25, 27–29]. Если процессы, определяющие генезис кирганикских вулканитов, расшифровываются достаточно достоверно, то вопросы происхождения вулкано-плутонической формации в целом еще далеки от однозначного понимания.

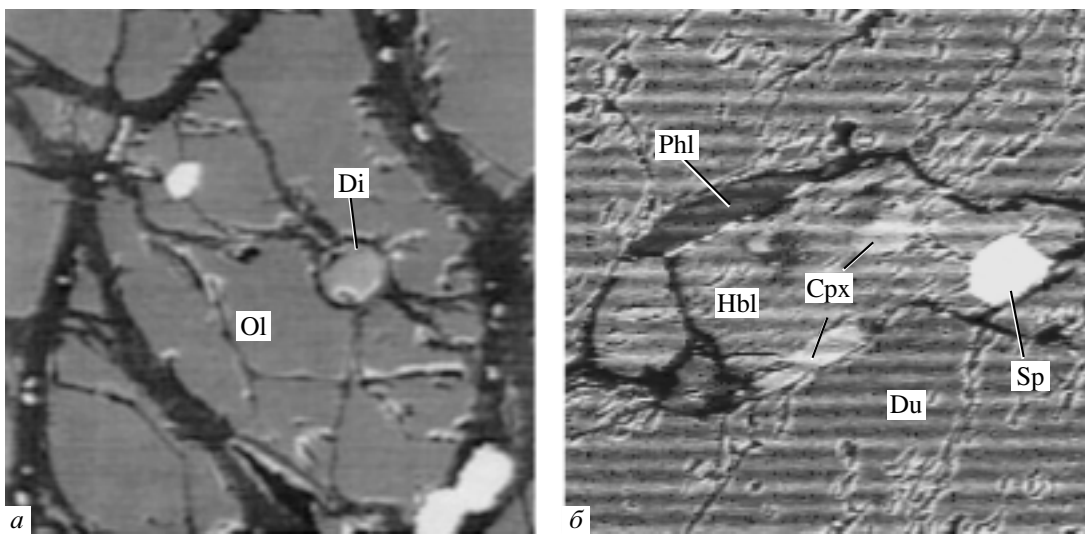
Основные черты строения, состава и происхождения вулканической части формации рассмотрены ранее [25, 27]. Установлено, что вулканическая фауна представлена двумя сериями пород: плагиоклазовой шошонитовой и бесплагиоклазовой высококалиевой щелочной. В составе первой присутствуют базальты, базальты с повышенным содержанием  $TiO_2$ , трахибазальты, трахиандезитобазальты, теф-

риты, латиты, эсекситы. Ко второй серии относятся лавы состава абсарокита, аполейцитита, лейцитодержащие шонкинит-порфиры и субвулканические тела и дайки шонкинитов, эпилейцитовых шонкинитов, силлы ортоклазовых пироксенитов. Пространственная сопряженность пород указанных серий в разрезе свиты свидетельствует о синхронности извержений, завершившихся внедрением субвулканических интрузий высококалиевого базальтового состава и широкомасштабным калиево-фосфорным метасоматозом, структурно связанным с питающими системами кирганикских палеовулканов. В результате были образованы обширные поля пироксен-ортоклазовых, биотит-ортоклазовых и ортоклазовых метасоматитов с неизменным присутствием апатита, а также медно-сульфидного оруденения [18]. Формирование химического и минерального составов вулканитов происходило при участии различных процессов: фракционирования, смешения расплавов, привноса калия трансмагматическими флюидами и кристаллизации в широком диапазоне температур и давлений [27].

Общеизвестно, что термин “формация” обозначает сообщества парагенетически связанных горных пород, характеризующихся единством времени и места происхождения и относящихся к одному этапу геотектонического цикла. В данном случае объединение вулканических и интрузивных образований в единую вулкано-плутоническую формацию определяется их проявлением в пределах одной геологической структуры, относительно близкими значениями абсолютных возрастов и сходством петрохимии, геохимии и изотопного состава пород



**Рис. 1.** Схема размещения позднемеловых-палеогеновых магматических образований Центральной Камчатки: 1 – аллювиальные отложения; 2 – нижнечетвертичные базальты; 3 – неогеновые вулканогенные образования; 4 – палеогеновые вулканогенно-осадочные образования кирганикской свиты; 5 – верхнемеловые вулканогенно-кремнистые отложения ирунайской свиты; 6 – палеозойские и протерозойские метаморфические образования Срединного массива; 7, 8 – интрузии простого строения: сиенитов (7), клинопироксенитов (8); 9 – полифазные массивы; 10 – геологические границы установленные (а) и предполагаемые (б); 11 – зона глубинного разлома (а) и разломы предполагаемые (б); 12 – точка находки ксенолита клинопироксена в лавобрекции трахибазальта. Номера на схеме соответствуют массивам: 1 – Филиппа (дунит–клинопироксениты); 2 – Евсейчикскому (клинопироксениты); 3 – Евсейчикскому габбро–сиениты); 4 – Среднеандриановскому габбро–сиениты; 5 – р. Левая Андриановка (сиениты); 6 – Левоандриановскому (дунит–клинопироксенит–сиениты); 7 – Кунчевскому (дунит–клинопироксенит–габбро); 8 – р. Озёрная Камчатка (клинопироксенит–габбро–монцониты). На врезке – район исследований.

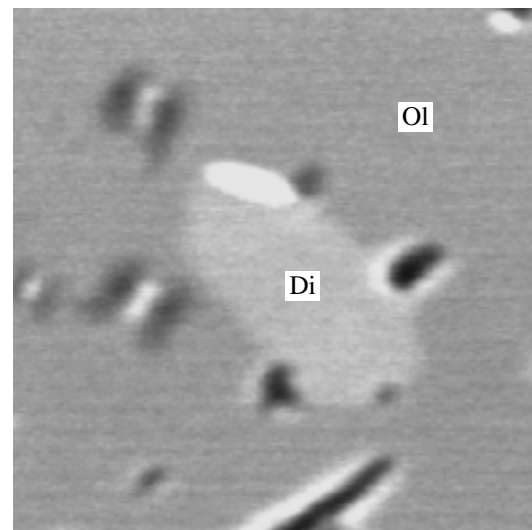


**Рис. 2.** Дунит. *а* – включение зерна диопсида в оливине; *б* – зерно клинопироксена в дуните (Du), замещенное амфиболом (Hbl) + флогопитом (Phl); Sp – шпинель. Микроснимки в отраженных электронах, полученные на микрозонде “Самебах”. Размер рамок 300 мк.

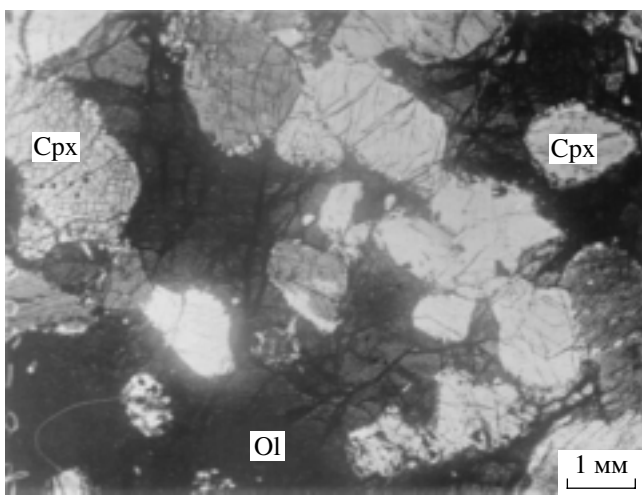
разной фациальной принадлежности [10, 25, 28]. Как видно на рис. 1, выходы кирганикских вулканитов и интрузивных массивов прослеживаются вдоль субмеридионально ориентированного генерально-го разлома, разделяющего метаморфические породы палеозойского и протерозойского возраста Срединного массива и верхнемеловые вулканогенно-кремнистые накопления ирунейской свиты [5]. Представляется, что такая геологическая позиция при ограниченной площади их развития не является случайной и свидетельствует о том, что поступление расплавов в верхние структурные горизонты коры контролировалось единой магмоподводящей системой.

**Строение типичных массивов интрузивного комплекса.** Кунчевский дунит-клинопироксенит-габбровый массив [29]. Вмещающая рама – туфогенно-кремнистая флишевая толща верхнемелового возраста. В составе массива выделяются четыре интрузивные фазы: дунит, клинопироксенит, габбро и монцогаббро, внедрившиеся в одну камеру в гомодромной последовательности. В дунитах отмечается полосчатость, сложенная крупно- и мелко-среднезернистыми разностями. Верлиты представлены крайне редко и обнаружены как фация среди дунитов. Клинопироксениты представлены двумя разновидностями: зелеными крупнозернистыми диопсидитами (пиросенит-1) и серыми мелко- и среднезернистыми биотитовыми пиросенитами, сложенными салитом (пиросенит-2). Пиросенит-1 формирует дискретное тело и жилы в дунитах, а также магматические брекчии с включениями обломков последних. Пиросенит-2 обнаружен в виде четко ограниченных прожилков в дуните и ксенолитов в монцогаббро. Отмечаются также “псевдоверлиты” – диопсидиты с реликтами

серпентинизированного оливина [29]. В оливине дунитов в качестве минерала-узника встречаются округлые зерна диопсида и включения овальной формы, по характеру выделения соответствующие “расплавным” (рис. 2а, 3). Состав одного из проанализированных включений также соответствует диопсиду, а в его пределах на контакте с минералом-хозяином отмечается обособление шпинели. Кроме того, в крупнозернистом дуните обнаружены зерна клинопироксена овальной формы, по которым в качестве псевдоморфозы развивается хромистый амфи-



**Рис. 3.** Дунит. “Расплавное” включение состава диопсида (Di) с рудной фазой в оливине (Ol). Микроснимок в отраженных электронах, полученный на микрозонде “Самебах”. Размер рамки 50 мк.



**Рис. 4.** Верлит из Левоандриановского массива. Структура взаимоотношения оливин (Ol) и клинопироксена (Cpx). По периферии последнего видна реакционная каемка. Шлиф.

бол ( $\text{Cr}_2\text{O}_3 = 1.27\text{--}1.64$  и  $\text{Na}_2\text{O} = 2.1\text{--}2.57$  мас.% при  $f = 8.6\text{--}14.7$ ) и частично флогопит (рис. 2б). Метасоматические амфиболы, сходные по составу с данной псевдоморфозой, обычны для родингитов из базит-гипербазитовых комплексов Камчатки [20]. В этой связи минеральную ассоциацию клинопироксен-амфибол с определенной степенью вероятности можно рассматривать в качестве ксеногенной фазы. Для монцогаббро характерны многочисленные шлиры габбро и наличие ксенолитов дунитов, пироксенитов и габбро. Образование щелочных расплавов обязано взаимодействию калиевого флюида с базальтовой магмой на стадии протокристаллизации последней [29].

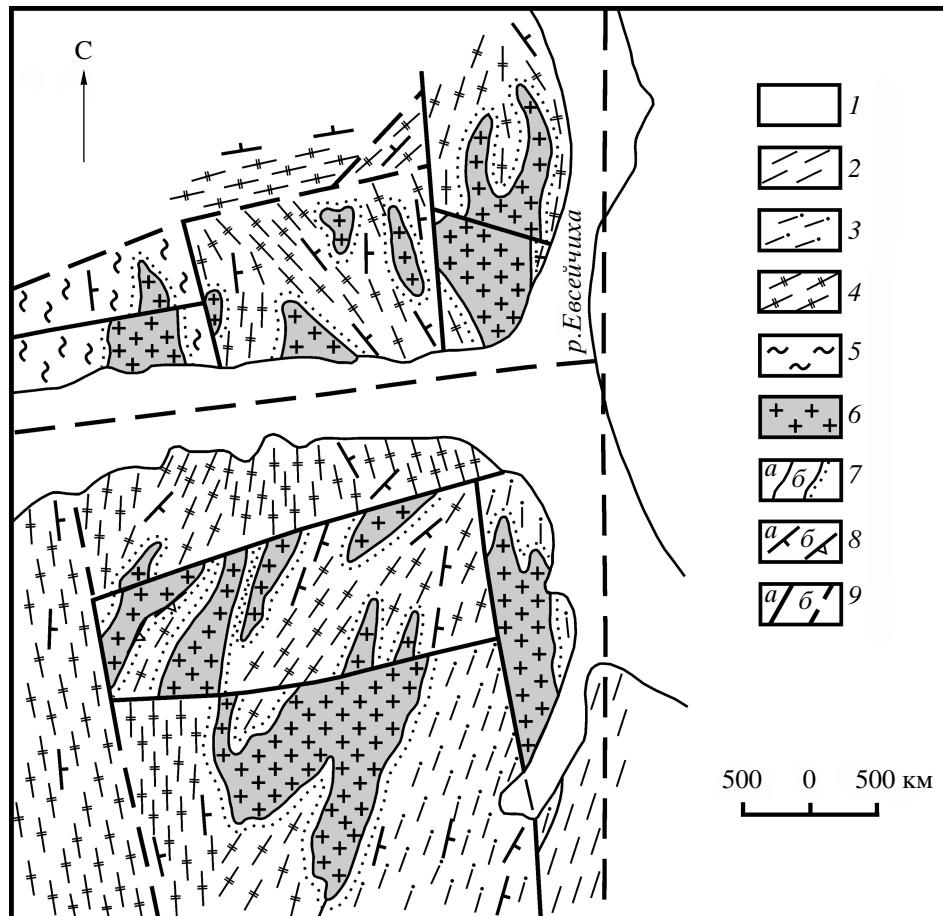
*Левоандриановский дунит-клинопироксенит-сиенитовый массив* [12, 25] локализуется в пликтативной структуре типа флексуры, сложенной зелеными сланцами андриановской свиты РZ<sub>1</sub>, кристаллическими сланцами и гнейсами камчатской серии РZ<sub>2</sub>. Породы представлены, главным образом, диопсидитами и биотитовыми клинопироксенитами, в меньшей степени – косьвитами, встречаются оливиновые разности, а также метапироксениты. В центральной части массива среди рыхлых отложений вскрываются дуниты и верлиты переменного количественно-минерального состава, что создает впечатление зональности. Наряду с обычными для таких пород микроструктурами, в верлитах наблюдаются участки, где оливин отчетливо цементирует зерна клинопироксена, по периферии которых наблюдается слабая реакционная каемка (рис. 4). Пироксениты прорываются сиенитами, в области контакта которых образуется мощная зона гастингсит-пироксен-ортоклазовых фенитов.

*Массив Филиппа* приурочен к зоне субширотного сброса, поперечного к генеральному глубинному

разлому. Вмещающие породы – зеленые сланцы, кристаллические сланцы, филлиты химкинской и хейванской свит палеозойского возраста. Массив сложен клинопироксенитами и серпентинизированными дунитами в равных количествах. Установлено, что пироксениты в эндоконтакте с породами вмещающей рамы приобретают мелко- и тонкозернистую структуру (по материалам геологической съемки). Верлиты с типичной для них магматической структурой и оливиновые пироксениты крайне редки; встречаются “псевдоверлиты”. Как и в Кунчевском массиве, клинопироксениты представлены двумя разновидностями. Среди салитовых пироксенитов обычны косьвигты с сидеронитовой структурой и содержанием магнетита до 30 об.%. В дунитах и в прожилках серпентинитов отмечены шлиры, сложенные парагенезисом крупнокристаллический диопсид + флогопит + магнетит + апатит, что свидетельствует также и о постмагматической (метасоматической) природе части клинопироксенов.

*Евсейчихский клинопироксенитовый массив* (рис. 5) представлен серией небольших (до 2 км<sup>2</sup>) пластинообразных интрузивных тел соответствующего состава с падением к востоку и юго-востоку, внедренных в толщу рассланцованных кристаллических сланцев андриановской свиты позднепалеозойского возраста. Контакты с вмещающими породами – активные. Породы интрузии в значительной степени изменены в результате процессов вторичного замещения. Свежие разности представлены салитовыми клинопироксенитами и косьвигтами.

*Евсейчихский габбро-сиенитовый и Среднеандриановский габбровый массивы* [25]. Первая фаза этих интрузий представлена биотитовым габбро и расположена конформно с породами вмещающей рамы, представленными кремнистыми сланцами ирунейской свиты верхнемелового возраста. Следует отметить увеличение меланократовости пород с глубиной эрозионного вреза и постепенный переход обычного габбро к лейкократовому, а затем и кварцодержащему ортоклаз-амфибол-пироксеновому в пределах обнажения. При этом составы плагиоклазов изменяются от An<sub>41–56</sub> до An<sub>30–35</sub>, а магнезиальность клинопироксенов Mg<sup>#</sup> уменьшается от 78.5 до 76.5. Вторая фаза сложена сиенитами и кварцевыми сиенитами, формирование которых в камере сопровождалось процессом магматического замещения вмещающих их габброидов с образованием гибридных монцонитов и зон фенитизации. Магматические тела второй фазы внедрены по разлому, ориентированному под углом к простирианию интрузива габбро. В сиенитах обнаружены ксенолиты пироксенитов и габбро. Заключительный магматический этап формирования массива ознаменовался инъекциями сиенит-пегматитовых тел.



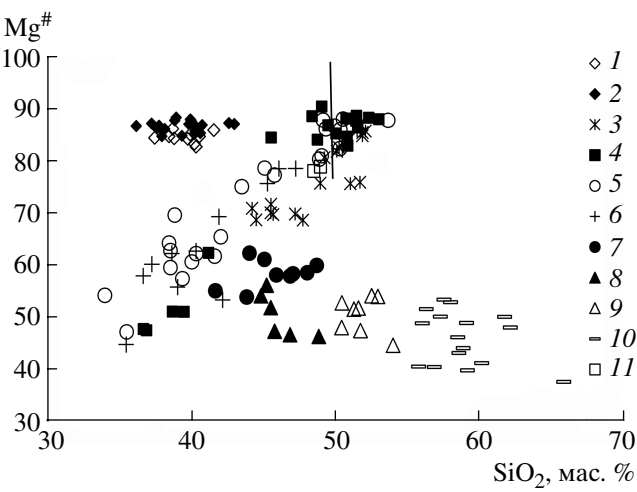
**Рис. 5.** Геологическая карта Евсейчихского массива клинопироксенитов: 1 – аллювиальные отложения; 2 – кремнистые сланцы ирунайской свиты верхнемелового возраста; 3 – филлиты хейванской свиты верхнепалеозойского возраста; 4 – зеленые сланцы андриановской свиты верхнепалеозойского возраста; 5 – кристаллические сланцы и гнейсы камчатской серии протерозойского возраста; 6 – клинопироксениты; 7 – геологические границы: стратиграфические (a), интрузивные (б); 8 – элементы слоистости (сланцеватости) пород (a), прототектоники (б); 9 – разломы установленные (a) и предполагаемые (б). Карта составлена А.В. Колосковым.

**Клинопироксенит-габбро-монцонитовый массив р. Озерная Камчатка [25].** Согласно последним данным массив является трехфазным. К первой фазе, равно как и в вышеописанных массивах, относятся клинопироксениты, обнаруженные в области контакта габбровой интрузии с кремнистыми сланцами ирунайской серии. Крупнозернистые диопсидиты (пиросенит 1) с лентовидными и шлировыми включениями дунита обнажаются в форме тела, протяженностью 400–500 м при мощности 150–200 м. Простиранье тела и прослоев соответствует общему простирианию вмещающих массив пород. Здесь же, в свалах встречена глыба осадочных пород с прожилком среднезернистого пиросенита 2 мощностью 40 см. Вторая фаза представлена биотитовым габбро, локализованным в структуре типа флексуры. В габбро иногда встречаются шлиры клинопироксенитов и, крайне редко, верлитов. В резко подчиненном количестве присутствует оливиновое габбро. В габбро обнаружено единичное

зерно ортопироксена ( $Mg^{\#} = 60\text{--}66$ ), который нетипичен для пород данной формации и является, судя по всему, ксеногенным.

Как следует из описания, слагающие интрузивный комплекс породы проявляются как самостоятельные фазы, которые слагают как полифазовые с гомодромным формированием, так и простые массивы [25, 29]. Последовательность становления разных фаз определяется по наличию у них рвущих, горячих контактов с вмещающими образованиями и, как правило, по присутствию в более поздних породах ксенолитов предшествующих инъекций.

Исключение составляют дуниты. В связи с отсутствием достоверных описаний интрузивных контактов телам этих пород обычно приписывается прорузынный генезис. Однако наличие “расплавленных” включений диопсидового состава в оливинах дунитов, присутствие в них же оплавленных кристаллов диопсида, ксеногенных фаз с признаками метасоматоза, а также факт цементации оливином



**Рис. 6.** Диаграммы  $\text{SiO}_2$  (мас.%) –  $\text{Mg}^{\#}$  для пород поздненемелового-палеогенового интрузивного комплекса Центральной Камчатки: 1, 2 – дуниты Кунчевского (1), Левоандриановского и Филиппа массивов (2); 3–6 – клинопироксениты массивов Кунчевского (3), Филиппа (4), Левоандриановского (5), Евсейчикского (6); 7, 8 – габбро массивов Кунчевского (7), Евсейчикского и Среднеандриановского (8); 9 – монцогаббро; 10 – монцониты и сиениты; 11 – ксенолиты клинопироксенита в туфобрекчии. Линией разделены пироксениты 1 (1) и 2 (2).  $\text{Mg}^{\#} = \text{MgO}/(\text{MgO} + \text{FeO}^*)$ , мол. кол.  $\text{FeO}^*$  – суммарное железо.

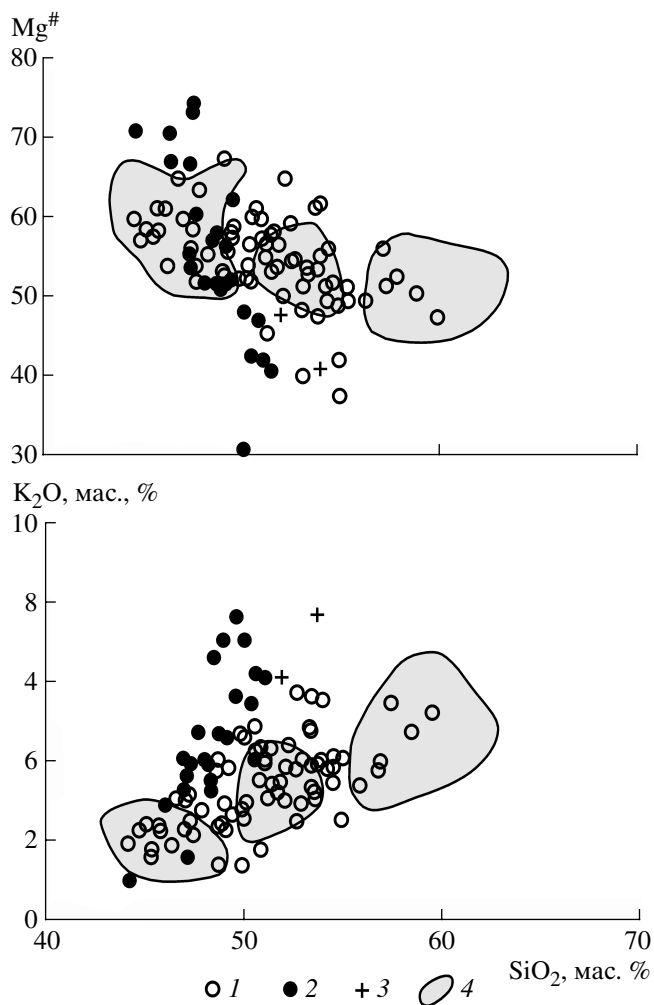
зерен клинопироксена (рис. 4) – все это свидетельствует в пользу внедрения дунита в виде жидкости или кумулуса. Очень редко дуниты связаны с клинопироксенитами постепенными, но быстрыми переходами через породы верлитового состава, что также свидетельствует в пользу их первоначально расплавленного состояния или кумулуса.

Обращает на себя внимание, что интрузивные массивы комплекса структурно неоднородны. Так, дуниты и пироксениты интрузий рассланцованны вместе с вмещающими консолидированными породами; сланцеватость в породах рамы и в дунитах подчеркивается чешуями биотита и флогопита соответственно. Характерно также, что дуниты, пироксениты и габбро локализованы в пликативных структурах типа флексур, т.е. согласно слоистости вмещающих толщ. Более поздние монцогаббро-сиенитовые расплавы использовали те же питающие системы, но близ поверхности их локализация контролировалась разломами северо-западного профиля, секущими слоистость (и сланцеватость) пород рамы [25, 29]. Иными словами, пространственное положение ультрамафитов и габброидов, с одной стороны, и щелочных пород, с другой, контролируется разными системами дизъюнктивных структур, оперяющих генеральный разлом. Среди клинопироксенитов принципиально установлены две разности: диопсидовые пироксениты 1 и салитовые пироксениты 2, которые иногда сопровождаются участками с сидеронитовой структурой. Надо

отметить, что подобные магматогенные мономинеральные диопсидиты также проявляются и в составе ультраосновной ассоциации оphiолитовых комплексов [15]. Интрузии фазы монцогаббро, монцонитов и сиенитов контролируются более жесткими дизъюнктивными структурами, являющимися оперяющими к главному разлому. По своей природе монцониты гетерогенны. В одном случае они проявляются как магматическая фаза, в другом – представляют собой гибридные образования области эндоконтакта сиенитов с ультрабазитами и габброидами. Заключительная стадия формирования массивов ознаменовалась проявлением интенсивного постмагматического kontaktно-инфилтратационного фосфор-калиевого метасоматоза. Во всех породах в парагенезисе со слюдой присутствует апатит [25].

**Петрохимия.** Петрохимические особенности интрузивных пород иллюстрируются диаграммой  $\text{Mg}^{\#}$ – $\text{SiO}_2$  (рис. 6). По характеру распределения фигуративных точек на ней отчетливо выявляется три дискретные совокупности, отличающиеся разно-ориентированными линиями регрессии, которые представлены породными ассоциациями: 1 – дуниты, 2 – диопсидит – салитовый пироксенит – косьвит, 3 – габбро – монцогаббро – монцонит, сиенит. Сильная положительная корреляция наблюдается для диопсидитов и салитовых клинопироксенитов (+ косьвитов) и, в то же время, между ними существует определенная дискретность [29]. Судя по диаграмме, подобные соотношения характерны для всех массивов. В то же время, на фоне одной тенденции эволюции составов пород отдельно взятой совокупности дунитов, пироксенитов и габбро в их пределах наблюдаются смещения точек, соответствующих разным массивам. Вполне вероятно, что все это свидетельствует в пользу кристаллизационной или жидкостной дифференциации в разноглубинных промежуточных очагах или в глубине камер локализации интрузий. Фигуративные точки монцогаббро и монцонитов + сиенитов слагают относительно компактные рои и в сочетании с полем габброидов образуют общий тренд эволюции пород отрицательной корреляции, ортогональный по отношению к пироксенитовому. На рис. 7 видно, что поля составов пород ряда габбро-сиенит занимают позиции в пределах площади распределения точек составов пород шошонитовой серии: ряда базальт-трахибазальт-трахиандезит-латит. Очевидно, что такие соотношения свидетельствуют о комагматичности пород разной фациальной принадлежности, продуцированных из одного магматического источника, что подтверждается и геохимическими данными [28].

Иную направленность имеют вариации пород высококалиевої серии (рис. 7). Фигуративные точки их составов образуют субвертикальный тренд с острым углом относительно ординат  $\text{Mg}^{\#}$  и  $\text{K}_2\text{O}$ , за-

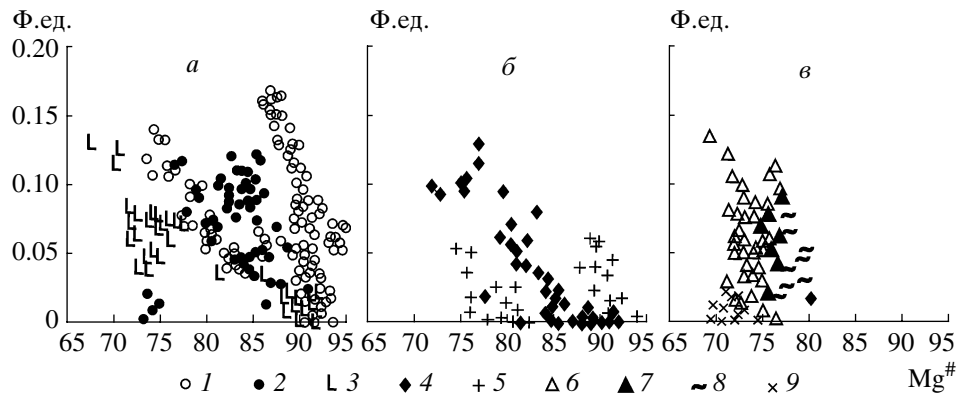


**Рис. 7.** Диаграммы  $\text{SiO}_2$  –  $\text{Mg}^{\#}$  (а),  $\text{SiO}_2$  –  $\text{K}_2\text{O}$  (б) для пород шошонитовой и высоко-калиевой щелочной серий и ряда габбро-сиенитов: 1 – шошонитовая серия; 2 – высоко-калиевая щелочная серия; 3 – метасоматит по пироксениту; 4 – поля соответствуют 7–10 на рис. 6.

нимая отчетливо секущее положение по отношению к трендам пород вышеупомянутых комагматических серий. Если последние характеризуются тенденцией повышения кислотности-щелочности расплавов, то расплавам высоко-щелочной серии свойственна тенденция с ярко выраженным прогрессивным возрастанием калиевой щелочности.

**Состав клинопироксенов.** Исследования составов клинопироксенов из пород интрузий выявили закономерности их эволюции. Диаграммы  $\text{Mg}^{\#}$  –  $\text{Al}^{IV}$  (рис. 8) построены по оригинальным данным авторов и опубликованным материалам [12, 29]; часть анализов была предоставлена Е.Г. Сидоровым (ИВиС ДВО РАН). Определения состава минералов выполнены методом рентгеноспектрального анализа на микрозонде “САМЕВАХ” в Институте вулканологии и сейсмологии ДВО РАН при стандартных условиях съемки.

На диаграммах видно, что выборки составов клинопироксенов из пироксенитов и габброидов разных массивов слагают дискретные или частично перекрывающиеся поля, отвечающие каждой отдельно взятой интрузии. В то же время, клинопироксены разных массивов имеют сходную тенденцию развития, их линии регрессии обладают отрицательной корреляцией  $\text{Mg}^{\#}$  –  $\text{Al}^{IV}$  и субпараллельно смещаются в интервале магнезиальности 67–95 и  $\text{Al}^{IV} = 0$ –0.18. Рассматривая пироксен, являющийся “сквозной” фазой для всех типов пород, в качестве индикатора исходного состава расплавов наблюдаемое смещение полей составов минерала в поперечном направлении к указанным трендам предполагает, что он несет своеобразный “наследственный генетический код” развития глубинной единой системы магмообразования (рис. 8а–в). Следует заметить, что подобные соотношения отмечались и в отношении валовых химических составов пород (рис. 6). Отчетливо фиксируются обособленные поля точек диопсидов и салитов из пироксенитов



**Рис. 8.** Диаграмма  $\text{Mg}^{\#}$  –  $\text{Al}^{IV}$  (ф. ед.) для клинопироксенов из пород интрузивного комплекса. а – пироксениты массивов: Кунчевского (1), Еврейчихского (2), Филиппа (3); б – пироксениты массивов Левоандриановского (4), Озерной Камчатки (5); в – габбро массивов: Кунчевского (6), р. Озерная Камчатка (7), Еврейчихского и Среднеандриановского (8); монцониты и сиениты (9).

отдельно взятых массивов, среди которых косьвity характеризуются минимальными значениями  $\text{Al}^{\text{IV}}$  относительно основной массы пироксенитов-2. В клинопироксенах из габбро наблюдается иная корреляционная зависимость, значимо отличающаяся от таковых из пироксенитов крутым, почти вертикальным трендом развития, ориентированным практически вдоль оси  $\text{Al}^{\text{IV}}$  (рис. 8 $\sigma$ ). Совокупности фигуративных точек клинопироксенов габбро из разных массивов также параллельно смещены относительно друг друга. Возможно, частичное перекрытие полей составов минералов из габбро и пироксенитов отражает принадлежность части последних к габбровой ассоциации.

С одной стороны, вышеизложенное свидетельствует о формировании массивов и в целом интрузивного комплекса в процессе многоактного внедрения в земную кору магматических расплавов разного состава, как в виде интрузивных фаз, так и порционно в объеме последних. Логично сделать вывод, что магмы соответствующих составов претерпевали дифференциацию в промежуточных очагах. С другой стороны, это свидетельствует об индивидуальных особенностях кристаллизации пород в каждой интрузивной камере, определяемых конкретной геологической и физико-химической обстановками среды становления интрузий.

По [32], субвертикальные тренды в координатах  $\text{Mg}^{\#}-\text{Al}^{\text{IV}}$  отражают возрастание содержаний в клинопироксенах  $\text{Al}^{\text{IV}}$ , связанное с их кристаллизацией при последовательно уменьшающемся литостатическом давлении, и являются декомпрессионными. Появление субгоризонтальных трендов рассматривается как проявление фракционирования расплавов в относительно монобарических условиях в промежуточных очагах, расположенных на разной глубине. Как и в случае вулканических пород кирганикской свиты [27], декомпрессионные тренды пироксенов интрузивного комплекса характеризуются отрицательной корреляцией в координатах  $\text{Mg}^{\#}-\text{Al}^{\text{IV}}$ , что совершенно закономерно: по мере кристаллизации пироксенов в условиях падения давления щелочность расплавов возрастает, а магнезиальность минерала соответственно падает. Судя по характеру распределения тетраэдрического алюминия в изученных клинопироксенах, все исходные магмы дунит-пироксенит-габбро-монцонит-сиенитового комплекса Срединного хребта Центральной Камчатки начинали свой эволюционный путь от областей с высокими литостатическими давлениями, где  $\text{Al}^{\text{IV}}$  отсутствует, до приповерхностных, субвулканических глубин, где содержания тетраэдрического алюминия максимальны.

**Возраст.** Становление пород формации охватывает значительный интервал геологического времени [1, 25, 28]. Магматическая деятельность и сопутствующие ей процессы продолжались более 40 млн. лет (таблица), в период от сантон-кампана до

среднего-позднего эоцена. Отклонение ряда значений в сторону омоложения можно объяснить широким и длительным проявлением постмагматических процессов, в том числе и фенитизацией в течение предорогенного этапа, и, возможно, более поздней гидротермальной деятельностью [25]. В целом можно отметить относительно более позднее формирование пород вулканической фации сравнительно с породами интрузивного комплекса, при этом проявления ультраосновного магmatизма явно предшествуют вулканизму. На это указывает присутствие ксенолитов пород интрузивной фазы – блока биотитового клинопироксенита размером 25 см и обломков габбро в туфобрекции трахибазальта в бассейне р. Саранская, а также со-поставимость возраста излияния вулканитов и внедрения поздних интрузивных фаз. Не исключено также, что микрошонкинит дайки с минимальным значением возраста (обр. 3432) может соответствовать иному, более молодому, позднекайнозийскому комплексу щелочных пород, развитому в Срединном хребте [4].

## ОБСУЖДЕНИЕ РЕЗУЛЬТАТОВ

Исследования минералогии, петрологии и геохимии ассоциации вулканитов кирганикской свиты, проведенные авторами ранее, позволили установить ее основную особенность – происхождение за счет двух типов магм, давших начало плагиоклазовой шошонитовой и бесплагиоклазовой калиевой щелочной петрографическим сериям. Интрузивный комплекс формировался в результате гомодромного пофазного внедрения в земную кору магм состава дунита, клинопироксенита и ряда пород габбро-монцогаббро-сиенит, комагматического вулканитам. Вулканической и интрузивной деятельности сопутствовал фосфор-калиевый метасоматоз, наиболее проявившийся на этапе вулканизма [25, 27, 28, 29].

В пользу существования дунитовой магмы могут служить такие факты, как оплавленные реликты диопсида, ксеногенные кристаллы пироксена, замещенные амфиболом, “расплавные” включения в оливине, цементные структуры (рис. 2–4). Проявления самостоятельных клинопироксенитовых расплавов подтверждаются наличием автономного Евсейчикского массива соответствующего состава, интрузивными контактами с породами вмещающей рамы, инъекциями пироксенитов в дуниты и магматическими брекчиями этих пород, сидеронитовыми структурами клинопироксенитов. Сведения о вероятном существовании дунитовых и пироксенитовых расплавов мы находим в [8, 16]. Можно добавить, что аналогичная по тектонической позиции и времени внедрения дунит-пироксенит-габбро-сиенитовая интрузия хр. Тумрок (Восточная Камчатка) имеет отчетливо проявленный расслоенный характер (снизу вверх): дуниты – клинопироксениты с

## Результаты определения K-Ar возраста пород позднемеловой-палеогеновой формации Центральной Камчатки

Образец	Название породы, геологическая позиция	Материал анализа	Место отбора проб, массивы	Калий, %	$^{40}\text{Ar}_{\text{рад}}$ (нг/г) $\pm 1\sigma$	Возраст, млн. лет $\pm 1.6\sigma$	Автор, год исследования
3065/3	Латит, лавовый поток	Порода	Верховья р. Кирганик	$3.55 \pm 0.04$	$6.6 \pm 0.5$	$26.5 \pm 2.5$	Флеров Г.Б., 1960
3340/5	Латит, лавовый поток	КПШ	Верховья р. Кирганик	$10.69 \pm 0.12$	$41.6 \pm 0.05$	$55 \pm 1.5$	Флеров Г.Б., 1998
530	Трахит, лавовый поток	Порода	р. Морошечная	—	—	54	Фирстов Л.В., [24]
480	Трахибазальт, лавовый поток	Порода	Верховья р. Кирганик	$4.22 \pm 0.04$	$10.4 \pm 0.6$	$36 \pm 2$	Флеров Г.Б., 1998
3318	Эссеексит, субвулк. тело	Порода	Верховья р. Богдановская	$3.98 \pm 0.03$	$5.3 \pm 0.3$	$19.1 \pm 1.7$	Флеров Г.Б., 1998
3432	Шонкинит, дайка	Порода	Верховья р. Кирганик	$3.09 \pm 0.04$	$2.64 \pm 0.09$	$12.3 \pm 0.7$	Флеров Г.Б., 1998
3455	Абсарокит, лавовый поток	Порода	Верховья р. Жупанка	—	—	$31 \pm 4$	Флеров Г.Б., 1960
3177	Аполейцитит, лавовый поток	Порода	Верховья р. Жупанка	—	—	$20 \pm 3$	Флеров Г.Б., 1960
3310/1	Эпилейцитовый шонкинит, субвулк. тело	Порода	Верховья р. Богдановская	—	—	$27 \pm 3$	Флеров Г.Б., 1960
3							
173/1	Метасоматит по вулканитам	КПШ	Верховья р. Кирганик	$10.26 \pm 0.08$	$26.8 \pm 0.6$	$37.5 \pm 2.5$	Полохов В.П., 1960
262	Метасоматит по вулканитам	КПШ	Верховья р. Кирганик	$8.63 \pm 0.07$	$28.6 \pm 0.5$	$47 \pm 8$	Полохов В.П., 1960
1	Метасоматит по вулканитам	КПШ	Верховья р. Кирганик	$10.55 \pm 0.08$	$34.4 \pm 0.7$	$48 \pm 3$	Полохов В.П., 1960
3	Метасоматит по вулканитам	Порода	Верховья р. Кирганик	—	—	47	Фирстов Л.В., [24]
2	Метасоматит по вулканитам	Биотит	Верховья р. Кирганик	$6.72 \pm 0.05$	$30.3 \pm 0.6$	$65 \pm 3$	Полохов В.П., 1960
790	Метасоматит по вулканитам	Биотит	Верховья р. Кирганик	—	—	$75 \pm 3$	Байков А.И., 1960
K60/1	Дунит	Флогопит	Кунчевский	$7.35 \pm 0.08$	$36.8 \pm 0.7$	$71 \pm 3$	Флеров Г.Б., 1998
304	Дунит с флогопитом	Флогопит	Филиппа	7.56	27.2	$86 \pm 7$	Баженов Е.А., 1981*
814	Слюдяной клинопироксенит	Порода	Филиппа	7.21	33.5	$67 \pm 6$	Баженов Е.А., 1981*
632	Пироксенит биотитовый	Биотит	Филиппа	—	—	$59 \pm 4$	Илечко Я.В., [5]
—	Клинопироксенит	Порода	Филиппа	—	—	$65 \pm 6$	Сидоренко И.В., 1984**
—	Клинопироксенит	Порода	Филиппа	—	—	$77 \pm 6$	Сидоренко И.В., 1984**
—	Клинопироксенит слюдяной	Порода	Левоандриановский	—	—	$64 \pm 6$	Бабушкин Д.А., 1982**
—	Клинопироксенит слюдяной	Порода	Левоандриановский	—	—	$65 \pm 6$	Бабушкин Д.А., 1982**
K60/8	Пироксенит биотитовый	Пироксен + биотит	Кунчевский	$1.43 \pm 0.02$	$6.35 \pm 0.30$	$63 \pm 4$	Флеров Г.Б., 2001
3400	Габбро биотитовое	Пироксен + биотит	Среднеандриановский	$2.01 \pm 0.02$	$9.90 \pm 0.30$	$70 \pm 4$	Флеров Г.Б., 2001
3606/5	Монцонит	Порода	р. Озерная Камчатка	—	—	$56 \pm 4$	Колосков А.В., 1963
3060/1	Пегматит	КПШ	Левоандриановский	—	—	$49 \pm 3$	Флеров Г.Б., 1963
113/1	Пегматит	КПШ	Евсейчихский	$10.9 \pm 0.09$	$34.7 \pm 0.6$	$45.5 \pm 3$	Флеров Г.Б., 1961
3400/1	Габбро зоны базификации	Биотит	Среднеандриановский	$3.41 \pm 0.04$	$9.1 \pm 0.3$	$38 \pm 2$	Флеров Г.Б., 1998
3060/1	Пегматит	КПШ	Левоандриановский	—	—	$49 \pm 3$	Флеров Г.Б., 1963
113/1	Пегматит	КПШ	Евсейчихский	$10.9 \pm 0.09$	$34.7 \pm 0.6$	$45.5 \pm 3$	Флеров Г.Б., 1961
3400/1	Габбро зоны базификации	Биотит	Среднеандриановский	$3.41 \pm 0.04$	$9.1 \pm 0.3$	$38 \pm 2$	Флеров Г.Б., 1998

Примечание. Анализы выполнены в лаборатории изотопной геохимии ИГЕМ РАН. \* – Баженов Е.А. и др. “Отчет о результатах методических литохимических исследований, проведенных Центральной геохимической партией в 1978–1981 гг.”. Петропавловск-Камчатский: Геофонды, 1981.

\*\* – Центральная лаборатория СВГУ. По данным [1] возраст клинопироксенитов Левоандриановского массива соответствует  $66 \pm 0.7$  млн. лет.

пойкилитовыми включениями оливина – чередование клинопироксенитовых и плагиоклазовых кумулатов. Все перечисленные породы прорываются сиенитами и сиенит-диоритами. Таким образом, наряду с признаками раздельного, пульсационного внедрения перидотитовых магм, которые кристаллизовались в разных интервалах градиента температур, существуют признаки их расслаивания на микроравнение *in situ*.

Вариации составов пород массивов, линейность трендов эволюции их и составов клинопироксенов в отдельно взятой породной совокупности (рис. 6–8) не исключают механизм кристаллизационной дифференциации соответствующих магм в промежуточных очагах и камерах их локализации. Показателем этого могут служить пульсационный характер формирования интрузивов, наличие верлитов в массивах дунитов, инъекции пироксенитов в дунит, магматические брекчи, две разновидности клинопироксенитов и их сидеронитовые структуры. О проявлении механизма кристаллизационной дифференциации габбровой (базальтовой) магмы в интрузивной камере свидетельствуют такие факты: повышение меланократовости габбро с глубиной эрозионного вреза и совмещение полей составов минералов из габбро и пироксенита ксенолита в сиените (Евсейчихский габбро-сиенитовый массив); наличие шлиров пироксенитов и верлитов в габбро ( массив р. Озерная Камчатка), постепенный переход типичного габбро к лейкократовому с последовательным изменением составов пироксенов и плагиоклазов соответственно (Среднеандриановский массив).

Показателем участия глубинного трансмагматического калиевого флюида в формировании магматических очагов служат: интенсивный метасоматоз, выраженный в фенитизации габбро и пироксенитов и в образовании обширных зон пироксен-ортоклазовых, биотит-ортоклазовых, ортоклазовых метасоматитов по вулканитам; наличие постмагматического минерального парагенезиса биотит (флогопит) + апатит во всех породах [25, 27–29]. Естественно, восходящий из глубин Земли поток флюида не миновал горизонтов генерации магм, способствовал процессу плавления вещества мантии и определенным образом мог влиять на их состав.

Начало альпийского тектонического цикла на Камчатке датируется альбом-сеноманом [3]. В течение геосинклинального этапа формировались мощные вулканогенно-кремнистые толщи (в частности ирунейская свита), с которыми на востоке ассоциируются альпинотипные гипербазиты. В истории мел-палеогенового развития Олюторско-Восточно-Камчатской структурно-формационной зоны известна хорошо проявленная фаза тектонических движений, которая датируется серединой кампанского века и совпадает со сменой раннегеосинкли-

нального или офиолитового этапа предорогенным, длившимся по эоцен включительно. Эта переходная стадия характеризуется региональным проявлением стресса, который привел к образованию складчатости, сланцеватости и серии надвигов восточной и северо-восточной вергенции. Геодинамическая обстановка предорогенного этапа способствовала образованию глубинных разломов и нарушений подчиненного порядка, вскрывающих магматические очаги на разных глубинных уровнях верхней мантии и астеносферы. Расплавы из области генерации магм многоактно поступали в земную кору и в ее пределах локализовались в статусе промежуточных очагов, а в верхних частях разреза формировали полифазные массивы, эродированные в настоящее время. При этом интрузии дунитов (верлит–дунитов), клинопироксенитов и габбро, локализовавшиеся в пликативных структурах и претерпевшие рассланцевание, характеризуют раннепредорогенный комплекс, а комагматичные проявления габбро-монцонит-сиенитовой и вулканической ассоциаций – комплекс позднепредорогенный [21, 23, 25, 27, 29].

Как отмечалось выше, на Камчатке получили развитие меловые офиолитовые комплексы, сопряженные с раннегеосинклинальной стадией альпийского тектонического цикла, включающие базит-гипербазитовые ассоциации [15, 19, 21]. Не исключена вероятность того, что проявления офиолитового комплекса в центральной части Срединного хребта потенциально существуют, но не вскрыты эрозией, а устанавливаются по данным гравиразведки [22].

Магмоподводящие системы дислокаций, заложенные в офиолитовый этап, продолжали “работать” и в последующее время, что, по-видимому, можно объяснить неизменностью пространственного положения флюидных потоков. Очаги выщелачивания базитовых магм располагались на большей глубине, чем офиолитовое тело. Предорогенные расплавы на пути перемещения в верхние горизонты литосферы в той или иной мере испытывали воздействие пород интрузивов щелочной формации и офиолитового комплекса. Наиболее ярко эти признаки проявлены в базальтах кирганикской свиты. Фенокристы клинопироксена в этих породах, равно как и в близких по времени проявления базальтах хребтов Валагинского и Кумроch, имеют сложное строение: ядро, нередко сложенное кородированными кристаллами диопсида, и салитовую оболочку; обнаружены оливин и хромшпинель в латите, включения гроссуляра во вкрашенниках клинопироксена [27]. Это свидетельствует о ксеногенности упомянутых выше минералов, их происхождении в результате растворения глубинных пород офиолитового комплекса. В такой же мере ксеногенным является упомянутый выше ортопироксен в

габбро и базальтах, не свойственный породам щелочной формации и захваченный, по-видимому, при взаимодействии базитового расплава с гарцбургитами. Об этом же свидетельствуют включения зерен диопсида в оливине, присутствие реликтовых кристаллов пироксена, замещенных хромовым амфиболом, в дунитах щелочной формации.

Вопрос происхождения дискретных типов пород, слагающих магматические ассоциации, не имеет однозначного решения. Наиболее часто их образование связывается с процессом кристаллизационной дифференциации базальтовых магм, в ходе которого формируются дуниты, верлиты и пироксениты в результате кристалло-гравитационного фракционирования оливина и пироксена. Существует также мнение, что дуниты представляют собой реститовый остаток плавления субстрата верхней мантии. Однако последовательное внедрение расплавов от ультраосновных до щелочных в одну интрузивную камеру затруднительно объяснить как кристаллизационной дифференциацией общего глубинного источника магмы, так и механизмом зонной плавки или магматического диапира [30, 31]. Во всех этих моделях заложен принцип гравитационного разделения кристаллических фаз, в то время как данные настоящей статьи свидетельствуют о внедрении магм в жидкое состоянии.

Неоднородность строения верхней мантии, равно как и ее зональность, признается всеми исследователями; разные взгляды имеются лишь в отношении вещественного состава субстрата. На основании вышеизложенного, авторам представляется более логичным объяснение разнообразия магм и гомодромное формирование интрузивного комплекса с позиции плумовой геодинамики, получившей в последнее время широкое признание среди ученых [6, 7, 13, 14, 17]. Периоду смены в верхнем мелу геосинклинального режима предорогенным сопутствовали возмущения глубоких горизонтов тектоносферы и складчатость толщ земной коры. Следствием этого явилось нарушение статического равновесия тектоносферы, что, в свою очередь, спровоцировало возникновение глубинного конвективного потока тепловой энергии и магматогенного флюида, то есть плума. По мере прохождения сквозь вертикально (по-видимому, и латерально) неоднородную верхнюю мантию такой поток, по принципу флюидно-магматического замещения, способствовал плавлению ее вещества, состав которого сопоставим с составом исходных расплавов формации. Вторичный разогрев и плавление этих пород происходили под действием глубинных флюидных потоков с высоким энергетическим потенциалом, в которых, согласно предложенным гипотезам [13, 14], вероятным теплоносителем выступает водород в протонной форме и углерод. Со временем

изменялся их состав, к водороду добавлялись фосфор-калиевые компоненты.

Результатом такого процесса явилось последовательное поступление в верхние структурные горизонты земной коры магм состава дунита (верлит-дунита), клинопироксена и габбро, фиксирующихся в статусе промежуточных очагов и интрузивов. Учитывая вариации составов пород и клинопироксенов из разных интрузий, что свидетельствует о многократном поступлении расплавов в верхние горизонты земной коры и, конкретно, в интрузивные камеры, можно сделать предположение о ликвационной дифференциации магм в первичных или промежуточных очагах. Представление о мантийной природе магм согласуется с результатами geoхимических исследований, свидетельствующими о генерировании магм из обедненного источника деплетированного исходного вещества [28].

С изменением со временем геодинамической обстановки к более жесткой очаги магмообразования, по-видимому, сосредоточились в пределах базальтового слоя верхней мантии. Это явилось началом образования эволюционных рядов габбро-монцогаббро-сиенит (монцонит) и шошонитовой серии, в целом слагающих относительно линейные и совпадающие тренды (рис. 6, 7). Петрология пород вышеуказанного ряда и их взаимоотношения позволяют предполагать, что расплавы, отвечающие составам пород вышеупомянутых серий, скорее всего, представляют собой продукты кристаллизационной дифференциации под контролем калиевого флюида базальтовой (габбровой) магмы в промежуточных очагах [25, 27, 29].

В результате напрашивается вывод о сосуществовании разноглубинных магматических очагов разного состава, генерированных в пределах верхней мантии в процессе флюидно-магматического замещения ультраосновного и основного субстрата. Предполагается, что разные типы магм были выведены на поверхность в результате дренирования мел-палеогеновыми разломами разных астено-сферных горизонтов, вещество которых сопоставимо с составами магм, являющихся первичными (исходными) для интрузий и вулканов. Очевидно, что ультраосновные магмы являются более глубинными. С определенной степенью вероятности это объясняет необычный порядок кристаллизации оливина и клинопироксена в "верлитах" Левоандриановского массива (см. рис. 4). Представляется, что в режиме высокой геодинамической активности подъем пироксенитовых расплавов из мантийного магматического источника спровоцировал акты последующего поступления в те же камеры порций дунитовой жидкости из более глубокой зоны питания. В вероятности длительного сосуществования разноглубинных магматических очагов разного состава убеждают четвертичный ареальный вулка-

низм Камчатки, голоценовая и современная история извержений Толбачинской региональной зоны шлаковых конусов [2].

В развитие вышеизложенного, предлагается модель петрогенезиса пород высококалиевой серии формации. Их первично магматическая природа не вызывает сомнения, о чем свидетельствуют факты обнаружения кристаллов лейциита и составы расплавных включений во вкрапленниках клинопироксена из шонкинит-порфира [26]. В то же время, в Левоандриановском массиве отмечаются высококалиевые метасоматиты по пироксениту, химический состав (мас.%) которых сопоставим с шонкинитами щелочной серии:  $\text{SiO}_2 = 48.7\text{--}51.2$ ,  $\text{K}_2\text{O} = 6.3\text{--}7.9$  и  $\text{SiO}_2 = 51.7\text{--}53.7$ ,  $\text{K}_2\text{O} = 6.2\text{--}8.1$  соответственно (рис. 7) [9, 25]. Представляется, что флюидный поток, попадая в магматические очаги пироксенитового состава, ощелачивает магму, которая и является исходной для шонкинитов и их лейцитовых разностей, а его инфильтрация сквозь земную кору способствовала формированию ортоклазовых метасоматитов в жерлах палеовулканов и интрузивных массивах. Обращает на себя внимание тот факт, что высококалиевый щелочной базальтовый вулканизм и связанный с ним широкомасштабный метасоматоз в эпоху раннего кайнозоя проявился на полуострове Камчатка локально и только в регионе, рассматриваемом в настоящей статье. По всей видимости, это обусловлено его геодинамической позицией на стыке двух крупных тектонических блоков: Срединного массива и позднемелового складчатого комплекса. С консолидацией литосферы большее значение приобретает дизъюнктивная тектоника, что, в частном случае, способствовало активизации зоны глубинного разлома. Следствием этого явилось возникновение глубоких разломов, уходящих в область генерации ультраосновных магм, что стимулировало подъем высокощелочных расплавов.

Современная идентификация геотектонических условий проявления мел-палеогеновых магматических пород Центральной Камчатки основана на геохимических характеристиках, главным образом, кирганикских вулканических пород, которые относятся к проявлениям внутриплитного типа, и является показателем геодинамической обстановки начинающегося рифтинга [9, 28].

## ВЫВОДЫ

1. Вулкано-плутоническая формация соответствует предорогенному этапу альпийского тектонического цикла развития Камчатки и представлена позднемеловым-палеогеновым интрузивным комплексом состава дунит-клинопироксенит-габбро-монцогаббро-сиенит с гомодромным фазовым фор-

мированием и вулканической фацией раннекайнозайского времени, включающей шонкинитовую (базальт-трахибазальт-латит) и высококалиевую щелочную серию (шонкиниты, их лейцитовые разности) пород.

2. Поступление магм состава дунита (верлит-дунита), клинопироксенита и габбро (базальта) предполагает существование разноглубинных магматических источников, сопоставимых с этими типами пород, генерированных в объеме единой системы по мере плавления вертикально неоднородного субстрата верхней мантии под воздействием восходящего флюидного потока.

3. Габбро, монцогаббро, монциониты, сиениты и базальты, трахибазальты, латиты представляют собой комагматы серий пород разной фациальной принадлежности, исходные составы которых формировались в процессе кристаллизационной дифференциации базальтовой магмы в тесном взаимодействии с трансмагматическим фосфор-калиевым флюидом.

4. Высококалиевые базальтовые расплавы (шонкиниты, их лейцитовые разности) образовывались на более глубинном, относительно базальтовых очагах, уровне в результате взаимодействия фосфор-калиевого трансмагматического флюида и пироксенитовой магмы в очагах генерации последней.

5. Присутствие в породах щелочной формации не свойственных им минералов, являющихся ксеногенными, предполагает существование в центральной части Срединного хребта базит-гипербазитовых интрузий офиолитового комплекса, не вскрытых эрозией.

Авторы выражают благодарность А.В. Колоскову, В.А. Полетаеву, Е.Г. Сидорову за любезное предоставление некоторого геологического и аналитического материала, использованного при написании настоящей статьи, а также А.П. Максимову за полезные замечания и обсуждение.

## СПИСОК ЛИТЕРАТУРЫ

1. Беляцкий Б.В., Ланда Э.А., Марковский Б.А., Сидоров Е.Г. Первые данные изотопного датирования дунит-клинопироксенитового зонального массива Центральной Камчатки // Докл. РАН. 2002. Т. 382. № 2. С. 235–237.
2. Большое трещинное Толбачинское извержение, Камчатка 1975–76 гг. М.: Наука, 1984. 638 с.
3. Вишневская В.С., Бернард В.В. Возраст и условия формирования мезозойских кремнистых пород Камчатки // Очерки по геологии Востока СССР. М.: Наука, 1986. С. 35–41.
4. Волынец О.Н. Петрология и геохимическая типизация вулканических серий современной острово-

- дужной системы: Автореф. дис. ... доктора геол.-минерал. наук. М.: МГУ, 1993. 67 с.
5. Геология СССР. Т. XXXI. Ч. 1. М.: Недра, 1964. 733 с.
  6. Грачев А.Ф. Идентификация мантийных плюмов на основе изучения вещественного состава вулкаников и их изотопно-geoхимических характеристик // Петрология. 2003. Т. 11. № 6. С. 618–654.
  7. Добрецов Н.Л., Кирдяшкин А.Г., Кирдяшкин А.А. Глубинная геодинамика. Новосибирск: Изд-во СО РАН, 2001. 409 с.
  8. Иванов О.К. Концентрически зональные пироксенит-дунитовые массивы Урала. Екатеринбург: Ур. ГУ, 1997. 448 с.
  9. Колосков А.В., Флеров Г.Б., Селиверстов В.А. и др. Калиевые вулканиты Центральной Камчатки в составе верхнемеловой-палеогеновой Курило-Камчатской щелочной провинции // Петрология. 1999. Т. 7. № 5. С. 559–576.
  10. Колосков А.В., Флеров Г.Б., Голубев В.Н. Изотопный состав Sr и Nd клинопироксенов из позднемеловых-палеогеновых щелочных магматических пород Центральной Камчатки (первые данные) // Докл. РАН. 2001. Т. 376. № 1. С. 85–88.
  11. Корякско-Камчатский регион – новая платиноносная провинция России. Санкт-Петербург: ВСЕГЕИ, 2002. 383 с.
  12. Ланда Э.А., Марковский Б.А., Сидоров Е.Г., Сляднев Б.И. Особенности строения и состава дунит-клинопироксенитовых массивов южной части Срединно-Камчатского хребта // Петрология и металлогения базит-гипербазитовых комплексов Камчатки. М.: Научный мир, 2001. С. 87–105.
  13. Ларин В.Н. Наша Земля (происхождение, состав, строение и развитие изначально гидридной Земли). М.: Агар, 2005. 248 с.
  14. Летников Ф.А. Сверхглубинные системы Земли и проблемы рудогенеза // Глубинный магматизм, магматические источники и проблема плюмов. Материалы Международного совещания. Иркутск–Владивосток, 2002. С. 5–24.
  15. Магматические горные породы. Т. 5. Ультраосновные породы. М.: Наука, 1988. 507 с.
  16. Маракушев А.А. Петрогенезис. М.: Недра, 1988. 294 с.
  17. Маракушев А.А., Моисеенко В.Г., Сахно В.Г., Тарарин И.А. Рудно-петрологические комплексы Тихого океана. Владивосток: Дальнаука, 2005. 296 с.
  18. Полохов В.П., Вольниец О.Н. Дайковый комплекс и оруденение района Кирганинского перевала (Срединный хребет Камчатки) // Формации и фации верхнемеловых и кайнозойских магматических образований Камчатки. М.: Наука, 1968. С. 141–174.
  19. Селиверстов В.А. Офиолиты Восточной Камчатки // Петрологические исследования базитов островных дуг. М.: Ин-т физики Земли АН СССР, 1978. С. 177–239.
  20. Селиверстов В.А., Осипенко А.Б. Петрология родингитов Камчатки. Владивосток: Дальнаука, 1999. 155 с.
  21. Селиверстов В.А., Пузанков М.Ю. Магматические комплексы позднемезозойской эвгеосинклинали // Геохимическая типизация магматических и метаморфических пород Камчатки. Новосибирск: ИГиГ СО АН СССР, 1990. С. 34–72
  22. Смирнов Л.М., Апрелков С.Е. О природе аномальной зоны силы тяжести в Центрально-Камчатской депрессии // Геологическое строение и полезные ископаемые Камчатки (Тезисы докладов). Петропавловск-Камчатский, 1983. С. 210–212.
  23. Томсон И.Н., Селиверстов В.А. Магматизм и металлогения предорогенного тектонического режима подвижных поясов и кратонов // Геология рудных месторождений. 1992. Т. 34. № 3. С. 3–18.
  24. Фирстов Л.В. Позднемезозойский магматизм Срединного хребта Камчатки и связанный с ним повторный метаморфизм древних формаций // Геология и геофизика. 1964. № 3. С. 89–99.
  25. Флеров Г.Б., Колосков А.В. Щелочной базальтовый магматизм Центральной Камчатки. М.: Наука, 1976. 147 с.
  26. Флеров Г.Б., Колосков А.В., Москаleva С.В. Лейцит и анальцим в верхнемеловых-палеогеновых базальтоидах Центральной Камчатки // Докл. РАН. 1998. Т. 362. № 1. С. 87–89.
  27. Флеров Г.Б., Селиверстов В.А. Минералогия и петрология позднемеловых-палеогеновых калиевых вулканитов Центральной Камчатки // Вулканология и сейсмология. 1999. № 6. С. 3–21.
  28. Флеров Г.Б., Федоров П.И., Чурикова Т.Г. Геохимия позднемеловых-палеогеновых калиевых пород ранней стадии развития Камчатской островной дуги // Петрология. 2001. Т. 9. № 2. С. 189–208.
  29. Флеров Г.Б., Полетаев В.А. Петрология Кунчевского дунит-клинопироксенит-габбрового массива Центральной Камчатки // Вулканология и сейсмология. 2005. № 3. С. 1–14.
  30. Фролова Т.И., Перчук Л.Л., Бурикова И.А. Магматизм и преобразование земной коры активных окраин. М.: Недра, 1989. 261 с.
  31. Ярошевский А.А. Зонное плавление мантии и некоторые проблемы первичной базальтовой магмы // Проблемы петрологии. М.: Наука, 1968. С. 82–89.
  32. Bedard J.H.J., Francis D.M., Ludden J. Petrology and pyroxene chemistry of Monteregian dykes: the origin of concentric zoning and green cores in clinopyroxenes from alkali basalts and lamprophyres // Canadian J. Earth Sci. 1988. V. 25. № 12. P. 2041–2058.

@@@@@@@